УДК 541.20 <u>ХИМИЯ</u>

А. М. ГОЛУБЕВ, Л. П. КАЗАНСКИЙ, В. Ф. ЧУВАЕВ, Е. А. ТОРЧЕНКОВА, академик В. И. СПИЦЫН

СПЕКТРЫ П. М. Р. УРАНМОЛИБДЕНОВОЙ ГЕТЕРОПОЛИКИСЛОТЫ

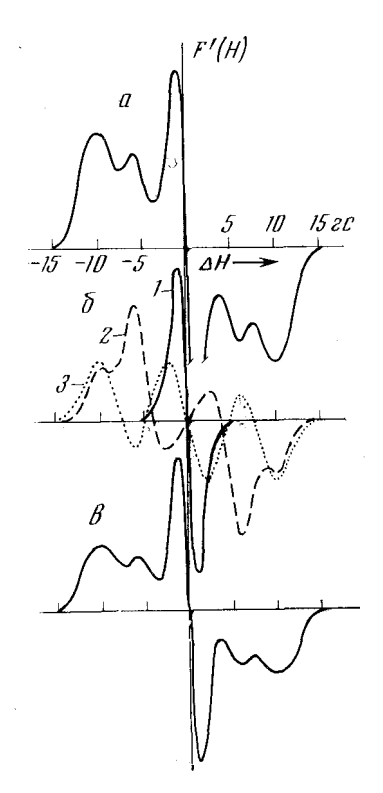
Уранмолибденовая кислота (УМК) и ее соли получены недавно (¹). Ход кривой нейтрализации растворов УМК показал, что характер связи восьми кислотных протонов неодинаков. Для исследования специфики протонной структуры УМК нами был применен метод протонного магнитного резонанса (п.м.р.) (²). Исходный гидрат кислоты соответствовал составу $H_8[UMo_{12}O_{42}] \cdot 18H_2O$. Образцы с различным содержанием гидратной воды готовились длительным выдерживанием в вакуум-экспкаторе над пятиокисью фосфора. Спектры п.м.р. записывались при 80° K на спектрометре для широких линий в $M\Phi X$ АН СССР. Состав, условия дегидратации и величины вторых моментов $\Delta \overline{H}^2$ приведены в табл. 1.

Первые производные линий поглощения протонов (рис. 4a) имеют два компонента: узкий — с шириной $\delta H=2$ гс в центральной части спектра, широкий — с двумя выраженными максимумами. Узкая линия в изученных спектрах практически не меняется для всех гидратов, кроме десятиводного (рис. 4a) и полуводного (рис. 3a), в которых узкая линия несколько увеличавается. Присутствие узкой линии в спектре многоводного гидрата характерно (3) для кислот с икосаэдрическим окружением центрального атома — комплексообразователя (рис. 2) и не наблюдалось при исследовании гетерополикислот фосфора, кремния, бора (2 , 4 , 5).

Сравнение интегральных интенсивностей компонентов спектра показывает, что вклад в узкую линию дают 3—4 протона. В исходном восемнадцативодном гидрате это число ближе к трем, в десятиводном — к четырем. Узкий компонент может быть отнесен к протонам, свободным от дипольного магнитного взаимодействия с молекулами воды. Второй момент узкой линии $\Delta \overline{H}^2 = 1.9 \, \mathrm{rc}^2$ и наименьшее расстояние между изолироваными протонами по формуле Ван-Флена (6) равно 2,4 Å.

Форма широкой части спектра характерна для высоководных гидратов гетерополикислот предельного типа и определяется суммой линий поглощения молекул H_2O и некоторого числа ионов гидроксония, H_3O^+ . На рис. 16 штрихом показана линия воды, наблюдающаяся обычно в средних слоях гетерополикислот соответствующей водности. Интенсивность ее взята при условии, что в исходном гидрате УМК пять из восьми ионов водорода гидратированы и образуют ионы гидроксония H_3O^+ . Действительно, линия (рис. 1 σ , кривая 3), получающаяся вычитанием из экспериментального спектра (рис. 1 σ , σ) линии воды и центрального компонента, совпадает с известной для гидроксония (σ).

Графический анализ спектра исходного гидрата $H_8[UMo_{12}O_{42}] \cdot 18H_2O$ показывает (рис. 16), что примерно пять из восьми кислотных протонов образуют ионы H_3O^+ . Остальные три протона не связаны с молекулами воды, образуя, по всей вероятности, гидроксильные связи внутри аниона или между анионами. Формула исходного гидрата УМК может быть записава в виде $(H_3O)_5[UMo_{12}O_{39}(OH)_3] \cdot 13H_2O$. При обезвоживании исходного гидрата до состава $H_8[UMo_{12}O_{42}] \cdot 10H_2O$ спектр п.м.р. существенно не меняется (рис. 16), четыре протона находятся в форме ионов H_3O^+ и чотыре — в виде ионов гидроксила, что разрешает десятиводный гидрат представить в виде формулы $(H_3O)_4[UMo_{12}O_{38}(OH)_4] \cdot 6H_2O$. Видимо, ионы гидроксония и ионы гидроксила, образуя внешнюю гидратную обо-



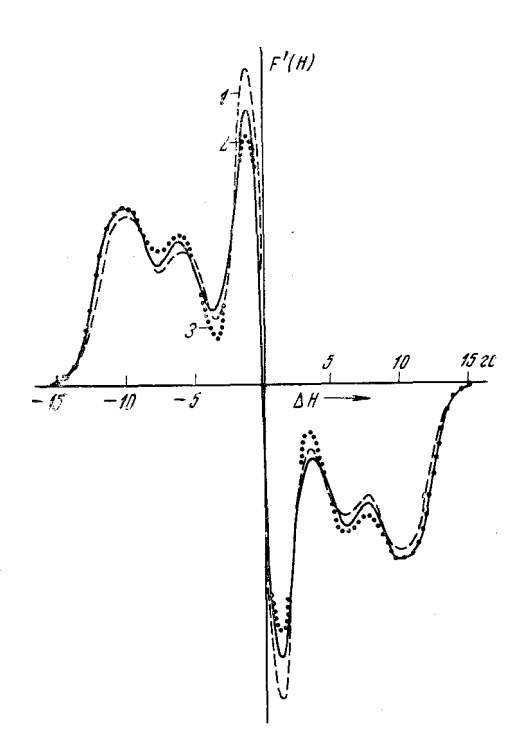


Рис. 1

1 Рис. 2

Рис. 1. Первые производные линий потлощения и.м.р. ири 80° К в гидратах уранмолибденовой кислоты. a— спектр $H_{8}[UMo_{12}O_{42}] \cdot 18H_{2}O;$ δ — составляющие спектра a: I— линия протонов OH; 2— линия протонов $H_{2}O$; 3— линия протонов $H_{3}O^{+}$; ϵ — спектр $H_{8}[UMo_{12}O_{42}] \cdot 10H_{2}O$

Рис. 2. Первые производные линий поглощения п.м.р. при $80^{\circ}\,\mathrm{K}$ в гидратах гетерополикислот: $1-\mathrm{H_8}[\mathrm{CeMo_{12}O_{42}}]\cdot 18\mathrm{H_2O};$ $2-\mathrm{H_8}[\mathrm{UMo_{12}O_{42}}]\cdot 18\mathrm{H_2O};$ $3-\mathrm{H_8}[\mathrm{ThMo_{12}O_{42}}]\cdot 18\mathrm{H_2O};$

Рис. 3. Первые производные линий поглощения п.м.р. при 80° К в низководных гидратах уранмолибденовой кислоты (масштаб по оси ординат увеличен в два раза по сравнению с рис. 1). $a-H_8[UMo_{12}O_{42}] \cdot 6.5H_2O;$ $b-H_8[UMo_{12}O_{42}] \cdot 6.5H_2O;$ $b-H_8[UMo_{12}O_{42}] \cdot 2.5H_2O;$ $b-H_8[UMo_{12}O_{42}] \cdot 2.5H_2O;$ $b-H_8[UMo_{12}O_{42}] \cdot 0.5H_2O;$

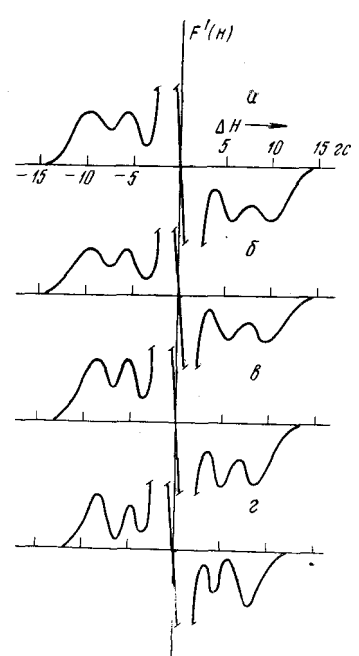


Рис. 3

лочку аниона, связываются неподеленными кислородными атомами октаэдров MoO_6 , стабилизируя тем самым структуру. Дальнейшая дегидратация затрагивает в первую очередь широкую часть спектра (рис. 3). Максимум, соответствующий линии гидратной воды ($\delta H = 11$ гс), увеличива-

Результаты дегидратации уранмолибденовой кислоты и измерений п.м.р.

№ п.н.	Соединение	Второй момент спектра п.м.р., гс ²		No		Второй момент спектра п.м.р., гс²	
		широкой части	узкой части	п.п.	Соединение	широкой части	узкой части
1 2 3	$\begin{array}{c} H_8[UMo_{12}O_{42}] \cdot 18H_2O \\ H_8[UMo_{12}O_{42}] \cdot 10H_2O \\ H_8[UMo_{12}O_{42}] \cdot 6,5H_2O \end{array}$	31 30 27	1,9 2,1 1,5	4 5 6	$\begin{array}{c} H_8[UMo_{12}O_{42}] \cdot 5H_2O \\ H_8[UMo_{12}O_{42}] \cdot 2H_2O \\ H_8[UMo_{12}O_{42}] \cdot 0,5H_2O \end{array}$	28 25 23	0,9 0,9 0,8

ется, а максимум линии ионов ${\rm H_3O^+}$ ($\delta H=19~{\rm rc}$) уменьшается. Второй момент широкой части снижается с 30 до 27 гс² (табл. 1). Широкая линия характеризует относительное содержание молекул воды и ионов гидроксония. Поэтому уменьшение второго момента вместе с характерным изменением формы широкой липии говорит о понижении числа ионов гидроксония.

В спектре пятиводного по анализу гидрата $H_8[UMo_{12}O_{42}] \cdot 5H_2O$ наблюдается (рис. 36) дальнейшее уменьшение интенсивности линии ионов гидроксония, при этом интенсивность линии изолированных протонов примерко остается той же, что и в спектрах ряда других низководных гидратов. Соотношение компонентов спектра с учетом неэквивалентности протонов разрешает формулу гидрата $H_8[UMo_{12}O_{42}] \cdot 5H_2O$ записать в виде $(H_3O)_{2.5}[UMo_{12}O_{37.5}(OH)_{3.5}] \cdot 3.5 H_2O$.

Деструктивный процесс захватывает протоны, образующие гидроксильные связи. Дальнейшая потеря трех молекул воды должна была бы привести к двухводному гидрату. Графический анализ двухводного по анализу гидрата $H_8[UMo_{12}O_{42}] \cdot 2H_2O$ показывает (рис. 36), что деструктивный процесс апиона при обезвоживании продолжается, причем число кислотных протонов уменьшается до пяти. Следовательно, можно предположить, что потеря трех молекул воды сопровождалась реакцией $2H_3O^+ + O_{ah}^{2-} =$ $=3 \hat{H}_2 O$, где $O_{a\mu}{}^2-$ кислородный атом аниона. В результате чего формула соответствующего по анализу двухводного гидрата на основании данных анализа может быть представлена формулой $(H_3O)_{4,5}[UMo_{12}O_{37}(OH)_{3,5}]\cdot 2H_2O$. Данные графического анализа спектра п.м.р. полуводного по анализу гидрата (рис. 3г) разрешают представить его в виде формулы $H_3O[UMo_{12}O_{36,5}(OH)_4] \cdot H_2O$.

Таким образом, изучение спектров п.м.р. уранмолибденовой кислоты при 80° К показывает, что она имеет основность, равную восьми. В жесткой решетке высоководных гидратов ионы H⁺ структурно неэквивалентны и находятся частично в виде ионов H₃O⁺ и частично в виде более прочных, возможно, гидроксильных групп. При дегидратации обнаруживаются структурные превращения, в ходе которых количество кислотных протонов уменыпается. Термическая стабильность УМК значительно ниже других гетерополикислот со структурой Декстрера — Сильвертона, а именно, цери- и торимолибденовой.

Московский государственный университет им. М. В. Ломоносова

Поступило 2 VI 1972

ЦИТИРОВАННАЯ ЛИТЕРАТУРА

¹ П. Байдала, В. С. Смурова и др., ДАН, 197, 339 (1971). ² В. Ф. Чубаев, В. И. Спицын, ДАН, 165, 160 (1966). ³ В. Ф. Чуваев, П. Байдала и др., ДАН, 196, 1097 (1971). ⁴ В. Ф. Чуваев, С. А. Бахчисарайцева, В. И. Спицын, ДАН, 165, 1126 (1965). ⁵ В. Ф. Чуваев, Х. И. Лунк, В. И. Спицын, ДАН, 181, 1156 (1968). ⁶ І. Н. Van Vleck, Phys. Rev., 74, 1168 (1948). ⁷ Е. R. Andrew, R. Bersohn, J. Chem. Phys., 18, 159 (1950).